

蒸汽鍋爐能源節約 及污染減量技術介紹

司洪濤 · 劉文清

台灣每年使用之能源若換算成原油，其數量相當於 87.6 百萬公秉油當量；這些能源有 96% 仰賴進口；消費最多者為石油（51%）和天然氣（6%），其次為煤炭（30%）、核能（10%）及水力（3%）。而現階段能源短缺且環保意識日益高漲，如何充分利用燃料，達成最佳的能源效益，並且降低污染排放量，是工業界及研究單位所努力的方向。尤其我國能源大部分仰賴進口，積極尋求各種經濟效益之技術，促使產業界節約能源與減少污染，更是刻不容緩。本文主要介紹一球鞋製造廠，其採用具有節能功效之流體磁化器，安裝於鍋爐之進油管與進水管上，經長時間觀察其運轉情形，並追蹤統計相關測試數據，結果發現在能源節約上，工廠單位產能耗油率由 1.048 公秉 / 千雙球鞋，降為 0.946 公秉 / 千雙球鞋，亦即在相同的產量下，成功地減少重油使用量 9.7%，以該廠 88 年度球鞋總產量 4,272 千雙為基準，推估每年可節省重油 436 公秉，若以中油低硫鍋爐用油價格 8,887 元 / 公秉（89.9.14 牌價表）估算，相當於每年節省燃料費 387 萬元新台幣。而在減少空氣污染物排放量方面更是貢獻匪淺；另外在鍋爐熱交換器結垢之情形亦大為改善，自安裝流體磁化器後，工廠鍋爐水停止加化學品的情形下，發現熱交換器結垢並未增加，且管壁上結垢物變為軟泥容易清洗，除了大大提升熱傳效率之外，亦節省許多維修人力。此能源節約及污染減量成功實例，值得國內相關耗能工業之參考與仿效。

【關鍵詞】鍋爐、節能、減廢、磁化、水處理



前 言

台灣每年使用之能源若換算成原油，其數量相當於 87.6 百萬公秉油當量：這些能源有 96 % 仰賴進口；消費最多者為石油 (51%) 和天然氣 (6%)，其次為煤炭 (30%)、核能 (10%) 及水力 (3%)。而現階段能源短缺且環保意識日益高漲，如何充分利用燃料，達成最佳的能源效益，並且降低污染排放量，是工業界及研究單位所努力的方向。尤其我國能源大部分仰賴進口，積極尋求各種具有經濟效益之技術，促使產業界節約能源與減少污染，更是刻不容緩。有鑑於此，財團法人台灣產業服務基金會（以下簡稱產基會）乃成立研發專案組，積極蒐集國內外科技產品相關資訊，並從事能源節約、環境保護與工業安全技術之引進、推廣及研發工作，在產基會執行多年工業局委辦工業減廢輔導過程中，接觸歐、美及國內數種宣稱具有節能功效之流體磁化器產品，將其安裝於鍋爐之進油管（或進水管）上，便可提升鍋爐燃燒效率（或熱傳效率），達到 10 至 30% 不等之節能功效，如此高經濟效益之節能技術，產基會雖持保留之態度，然而工業實務上，卻陸續有測試成功之案例，值得進一步之探討。故要求產品供應商說明其技術原理，每每問及技術關鍵之處，皆因涉及製造專利（KNOW HOW）笑而不答，其中不免具有過份誇大功效之處，但在核四廠遭遇停建或續建搖擺不定之際，站在能源節約的觀點，任何一種技術或產品，若真能為工廠節省 5% 以上之能源耗用量，就有存在及大力推廣的價值，是以本文彙整流體磁化器相關技術文獻，並以一家工廠安裝此項設備後，

單位產能耗油率減少 9.7% 之運轉情形與測試結果，供國內致力於能源節約之參考。

案例工廠簡介

（一）工廠製造流程與生產量

本文所介紹之鍋爐燃油減量及排污減廢成功案例，為某從事 Nike 球鞋製造之 OEM 工廠（以下簡稱 A 廠），其鍋爐房內之三座蒸汽鍋爐外觀實景如圖 1，A 廠 Nike 球鞋之製造流程如圖 2，其在 88 年度球鞋之總生產量為 4,272 千雙，如表 1 所示。

（二）工廠鍋爐重油使用情形

由於球鞋橡膠底製造之混合熱壓程序需使用熱源，故工廠配置有了三座蒸氣鍋爐（編號分別為 No.1、No.2 及 No.3 鍋爐，如圖 1），皆以重油為燃料，統計 88 年全年重油總使用量為 4,250 公秉，而為了方便評估三座鍋爐整體之節能績效，故截取 A 廠 88 年及 89 年 2~7 月間重油耗油量情形，詳如表 2 所示。

流體磁化器工作原理

所謂「磁化」，本文採較廣泛之定義，包含磁鐵或非磁鐵之各種處理方式，近年來有研究單位將此類「磁化水」統稱為「機能水」。流體磁化器可設計為管線中設備元件之一部分，或直接夾在管線外即可。有的為超強磁鐵之材質；有的為含特殊成分之合金。其外型結構看似簡單，但其工作原理卻頗具學問，其所涉及之基本物理現象與化學變化，很少有流體磁化

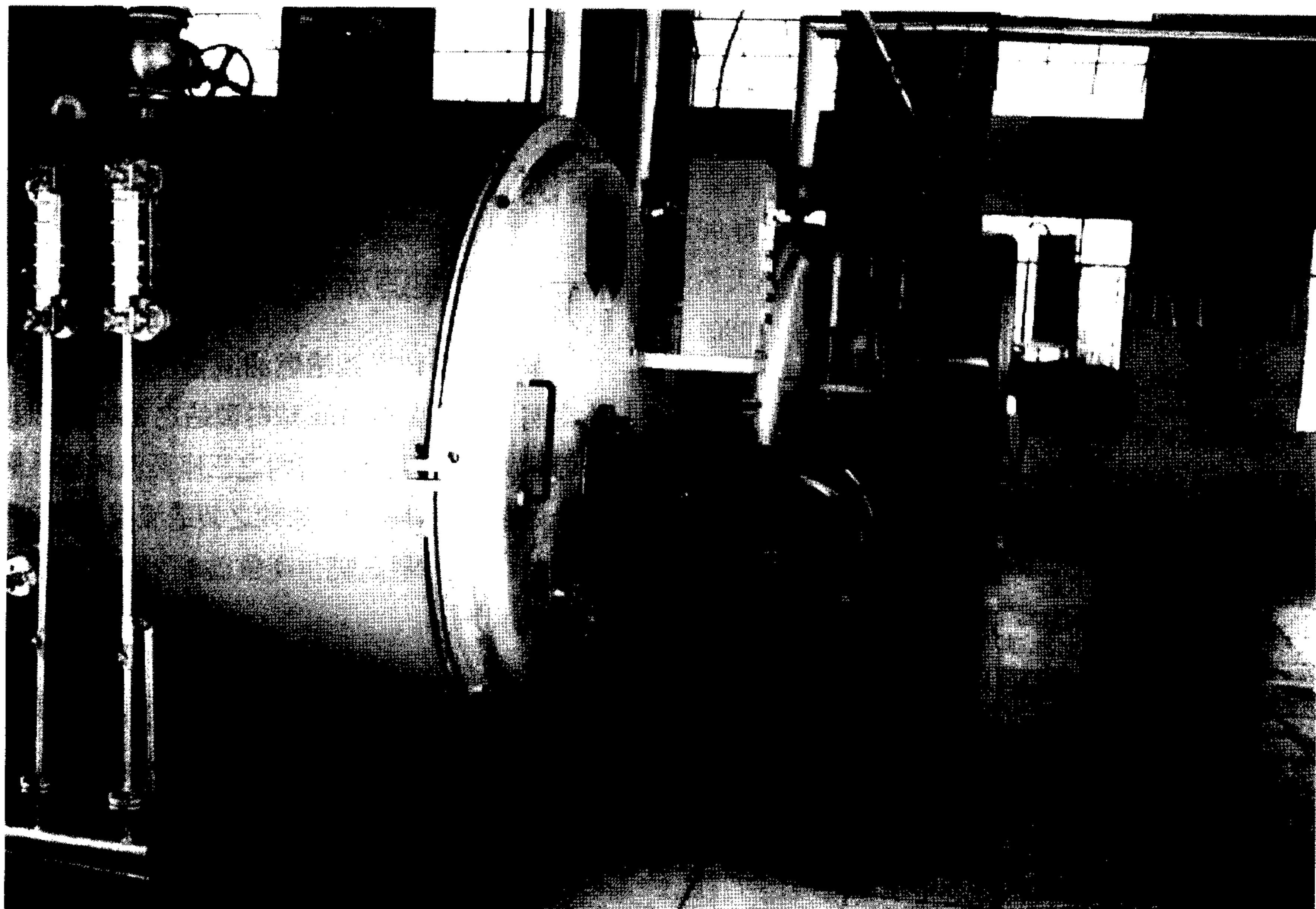


圖1 A廠三座蒸汽鍋爐外觀實景

器銷售員能說明清楚，然而進一步要求原始產品供應商說明其技術原理，每每問及技術關鍵處，皆因涉及製造專利點到為止，或笑而不答，故僅能由現有國內外少數之文獻報告，彙整一些可信度較高之科學數據，為流體（油或水）經磁化後，具有節約能源及防止結垢之功能提供理論上之解釋。

(一) 節約能源的基本原理

燃料油的成分太過複雜，故以水為代表，

探究其節能原理就顯得較單純。水的分子是二個氫及一個氧原子所結合，然而，科學家發現水分子並非以單分子獨立存在，而由多分子像念珠般聯結存在。這種水分子的集團稱為水的族群（或稱為水分子團）。

有關水的族群之大小，在科學上的量測方法，可利用 O^{17} -核磁共振儀，測定水樣光譜之半高寬度（單位為 Hz）以資判斷。該測試水樣半高寬度值愈小表示水的族群愈小。其 O^{17} -核磁共振光譜示意圖如圖 3 所示。

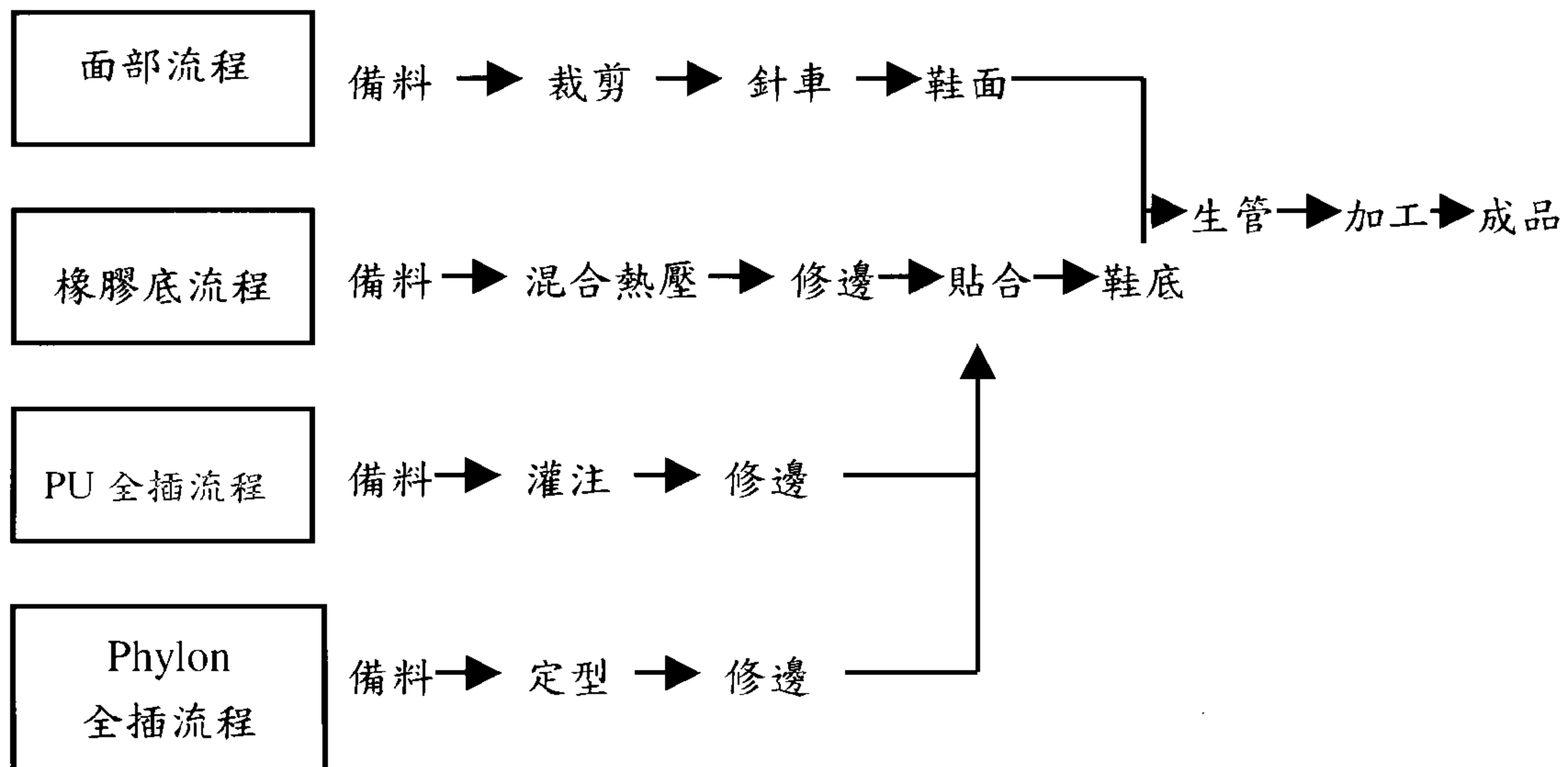


圖2 A廠球鞋之製造流程

表1 A廠88年及89年球鞋生產量統計表

(單位：雙)

年 月	1月	2月	3月	4月	5月	6月	7月	8月	9月	10月	11月	12月	小計
88年	354976	290309	321833	349328	354898	356393	363925	371453	372278	379894	366251	391408	4272946
89年	385160	320849	363514	350010	330016	316903	349506	337396	-	-	-	-	統計中

文獻上水的族群／氧¹⁷-核磁共振光譜的半高寬度如表3所示。國內某一設備供應商取台中中興大學自來水為樣品，利用氧¹⁷-核磁共振儀進行上述半高寬度之測試，發現磁化水之半高寬度確實有減小之現象，其未磁化水及已磁化水光譜測試結果如圖4、圖5所示。

由水分子族群之觀念導入燃油分子族群之觀念，同理可推，燃油經流體磁化器磁化後，其燃油分子族群亦由大族群變成小族群，促使燃料油在燃燒器噴嘴霧化後，相對地較容易霧化成較小的燃油分子團，在微觀上，其劇烈的燃燒化學反應過程中，空氣與燃油分子接觸之

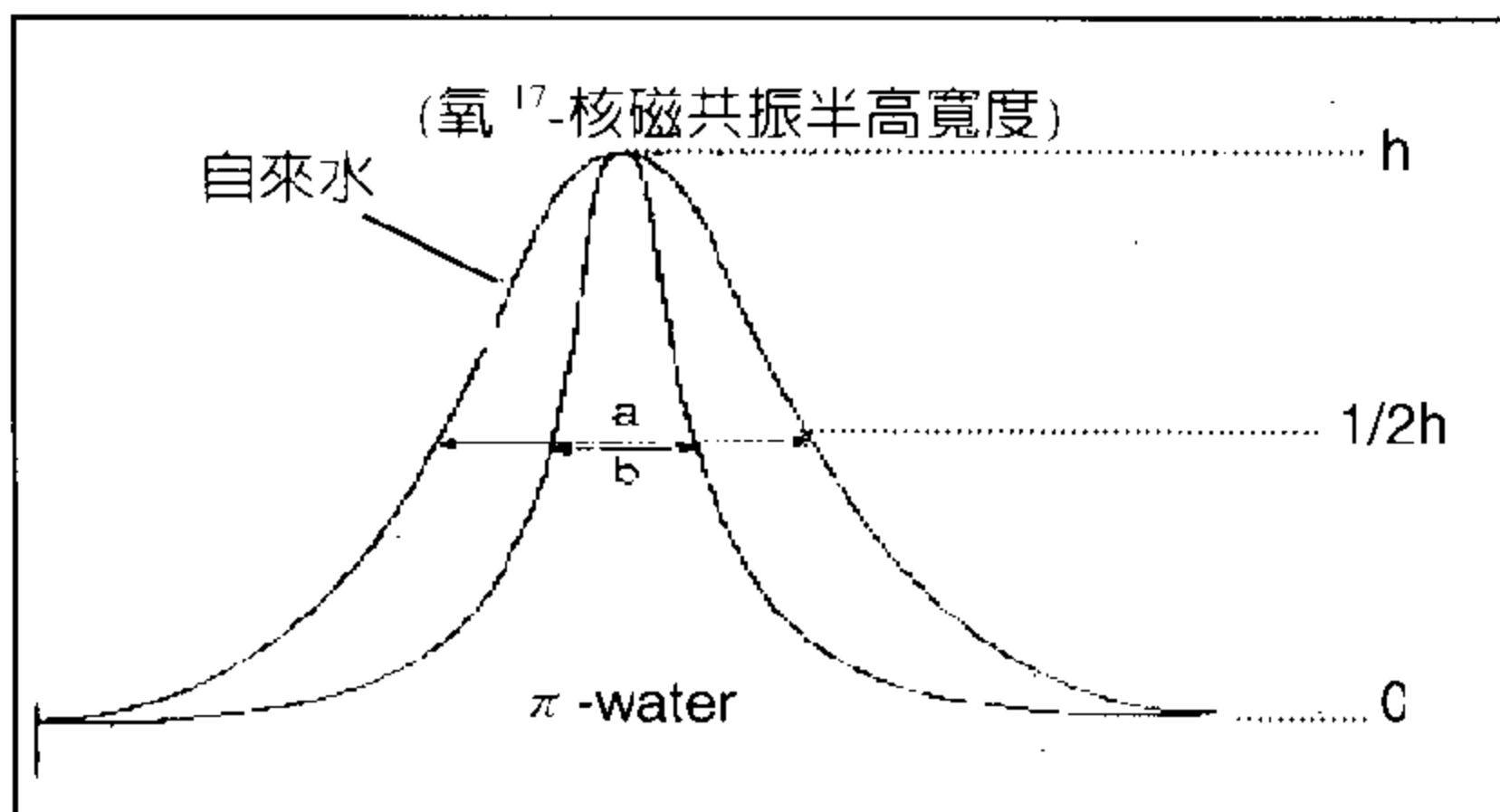


表2 A廠88年及89年2~7月間之重油使用量

(單位：公秉)

月份 年度	2月	3月	4月	5月	6月	7月	2~7月 小計
88年	343.269	378.453	361.029	358.000	346.707	346.707	2134.165
89年	336.762	344.886	318.086	310.228	307.299	304.874	1922.135

備註：1、88年1~12月全年重油總使用量約為4,250公秉

圖3 氧¹⁷-核磁共振儀光譜示意圖

比表面積 (Specific Area) 比尚未磁化前高出很多，故燃燒較為完全而充分釋放燃油的熱量，在產生相同的熱當量條件下，相對地減少鍋爐燃油的耗油量，在符合質能不滅定律的前提下，此水分子族群由大變小的光譜科學証據，間接提出流體磁化器為何能達成能源節約之理論依據。

另外，有學者提出一種特殊的能量理論，此理論指出水（或流體）經磁化後被賦予某些能量，由於將水磁化的方式有很多種（詳見表3所

表3 水的族群/氧¹⁷-核磁共振光譜的半高寬度

類別	水樣名稱	半高寬度
未 磁 化 水	原水	128.0Hz
	自來水（日本愛知縣幡豆鎮）	127.8Hz
已 磁 化 水	π-water 淨水器處理水	53.2Hz
	陶磁球浸漬水	89.0 Hz
	磁鐵礦石浸漬水	85.0 Hz
	麥飯石浸漬水	97.0 Hz
	遠紅外光陶磁球浸漬水	89.0 Hz
	鹼性電解水	64.0 Hz

示），究竟磁化水被賦予什麼形式的能量以及提升能量之多寡，如何以科學的儀器給予定性或定量的分析，目前有興趣之研究者仍在研究中，日本牧野伸治理學博士在神奇的π-WATER一書中，提出磁化水具有多少能量？可利用一種蘇俄發明的克理安照相法進行攝影來觀察，

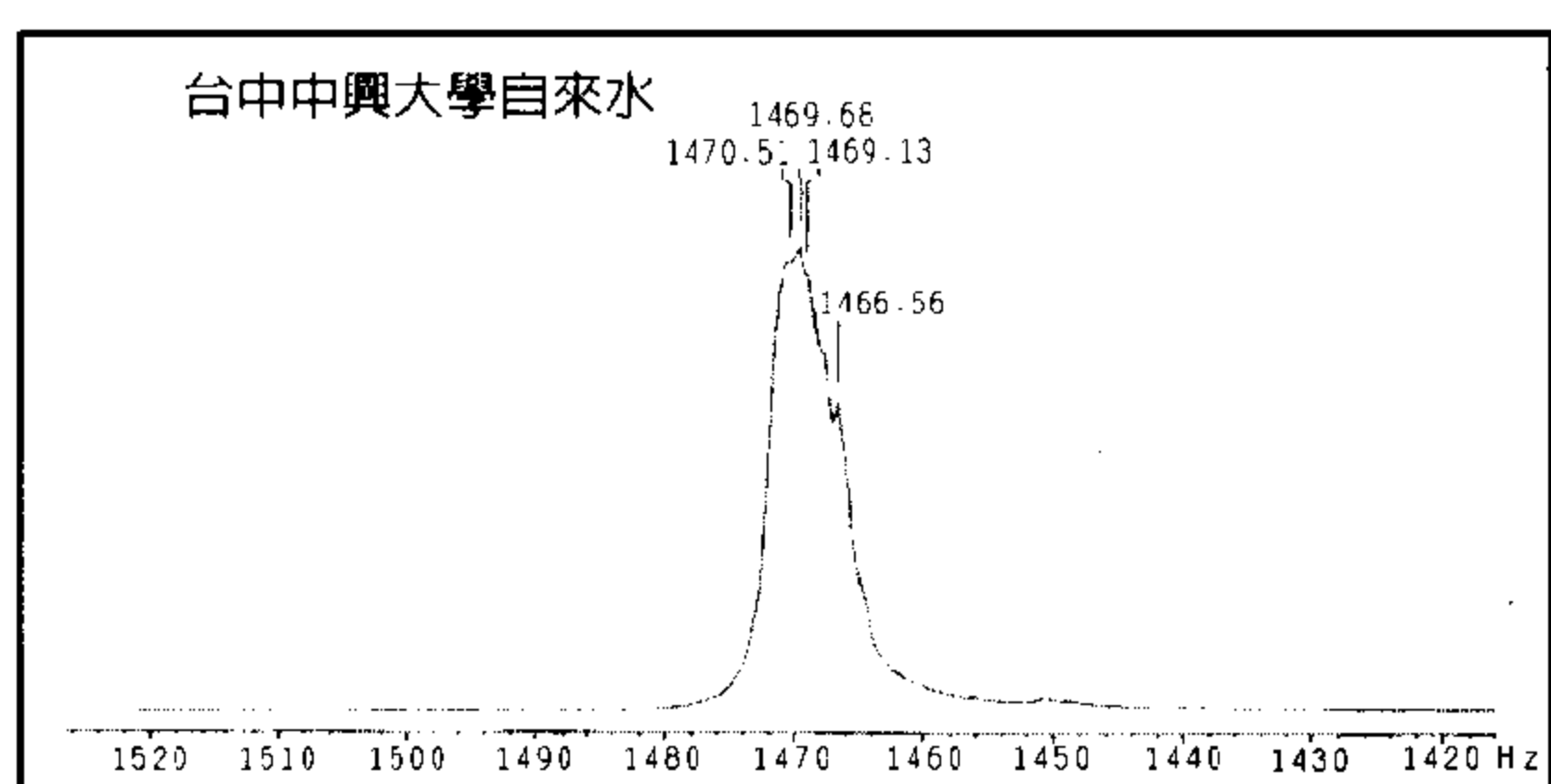


圖4 未磁化水之 O^{17} -核磁共振光譜

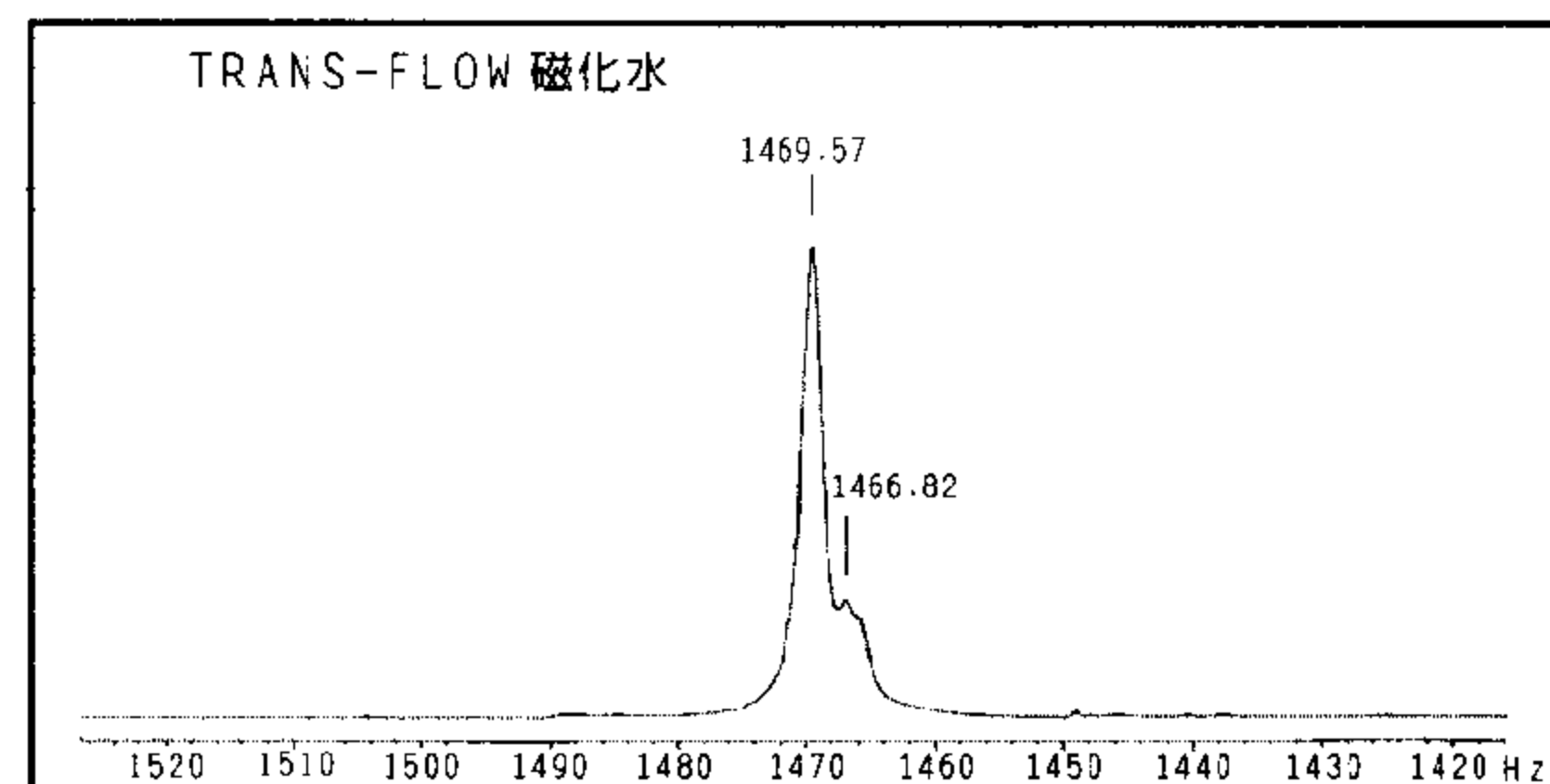


圖5 已磁化水之 O^{17} -核磁共振光譜

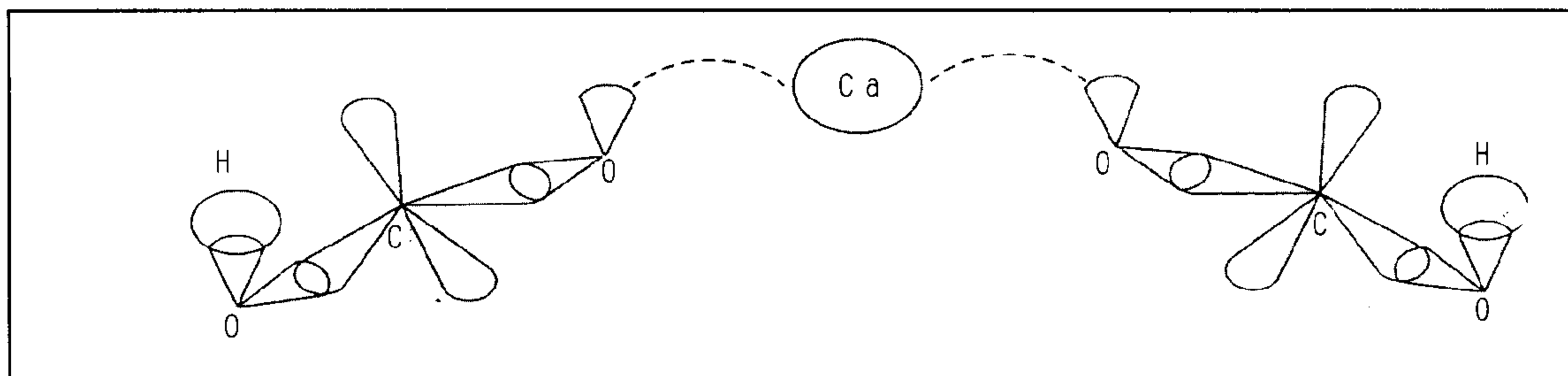


圖6 $\text{Ca}(\text{HCO}_3)_2$ 分子結構示意圖

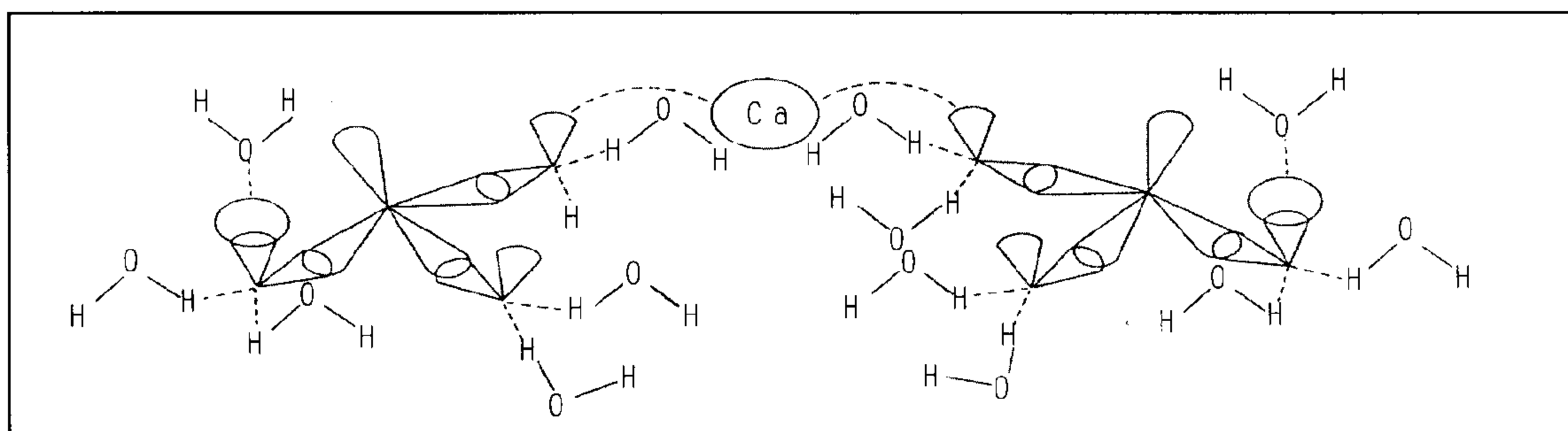


圖7 $\text{Ca}(\text{HCO}_3)_2$ 分子與水分子的氫鍵締合

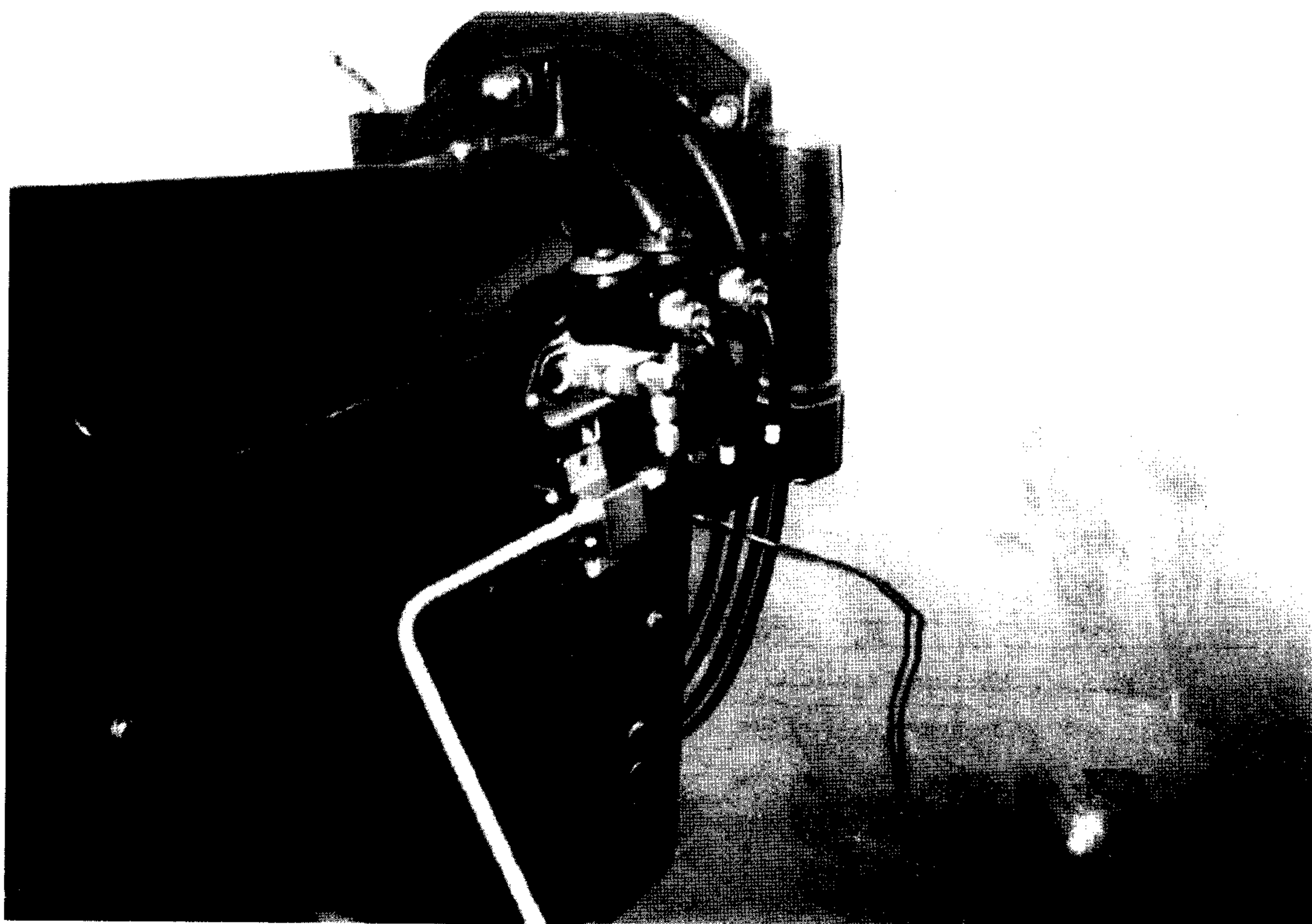


圖8 A廠鍋爐燃燒機重油進油管上安裝流體磁化器

以被拍攝物體散發光芒之強弱代表賦予能量的大小。當磁化水具有很強的能量時，所拍出之克理安照片中，磁化水就所射出很強的光芒， π -WATER 所拍出之克理安相片詳如該書封面所附之彩色照片，同理可推，燃料流體經磁化後亦被賦予某些能量，因而達成可促進燃燒效率之功效，亦間接提供流體磁化器為何能達成能源節的另一種解釋。

至於其它更具體或直接的理論，則有待專家學者進一步探討之。

(二) 鍋爐防垢基本原理

採用磁化法處理水是近年發展的一種新技術，國內外已廣泛用來解決鍋爐、熱交換設備和冷卻水管道等除垢與防垢問題，並獲得極為顯著的效果。磁化水去除水垢的原因是，水中碳酸鈣 (CaCO_3) 結晶形態的改變。水垢的主要成分 CaCO_3 是由水中所含的 $\text{Ca}(\text{HCO}_3)_2$ 受熱分解而生成，它有兩種結晶方式，當磁化處理過的水受熱時，析出的 CaCO_3 晶體主要為針狀文石結

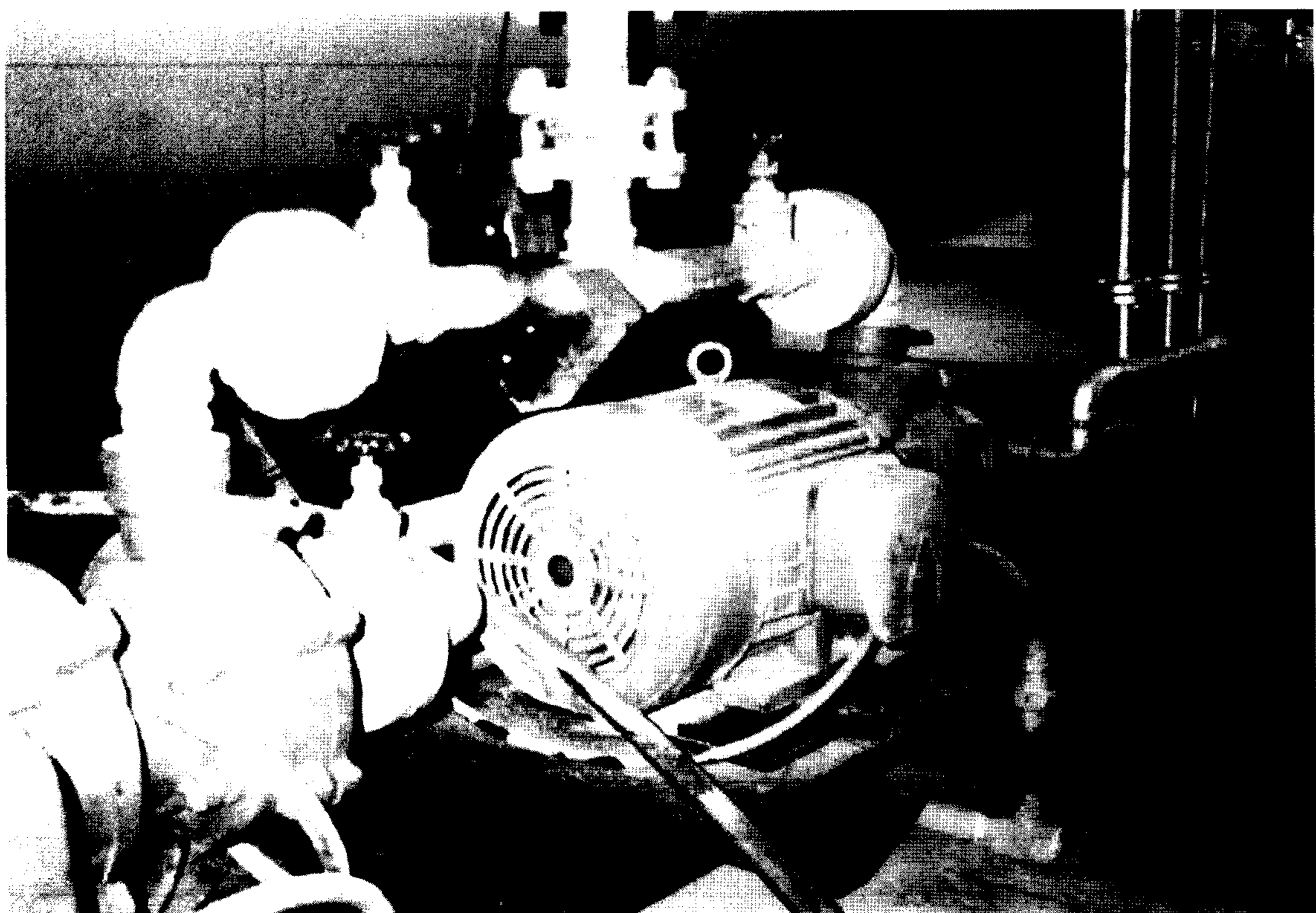


圖9 A廠鍋爐蒸汽用水進水管上安裝流體磁化器

晶，文石結晶的結構疏鬆、抗拉、抗壓能力差，黏結性弱，不易黏結成堅硬水垢。它可在水中任意成核結晶，形成泥渣狀態沉澱而藉由鍋爐水排污除去，而未經磁化處理的水在加熱時析出的 CaCO_3 結晶主要為緊密的菱形方解石晶體，易在受熱的金屬面上形成堅硬的水垢。

此外，磁化作用不僅是改變了水垢的結晶狀態，也改變了水分子與晶體之間的關係，即改變了晶體的水合狀態。 $\text{Ca}(\text{HCO}_3)_2$ 的分子結構如圖6所示。水為極性分子，水的單分子常由

於氫鍵作用而締合成雙分子或多分子的聚合體 $(\text{H}_2\text{O})_n$ 。而水分子與 $\text{Ca}(\text{HCO}_3)_2$ 之間也由於氫鍵的作用發生締合，如圖7所示。未經磁化處理的水，在 HCO_3^{-1} 離子周圍締合著許多水分子，當受熱後 $\text{Ca}(\text{HCO}_3)_2$ 分解生成 CaCO_3 結晶時，由於周圍這層水分子的包圍， Ca^{+2} 與 CO_3^{-2} 離子碰撞機會少，形成的結晶中心少，因而易於形成大塊水垢結晶附於管壁上。

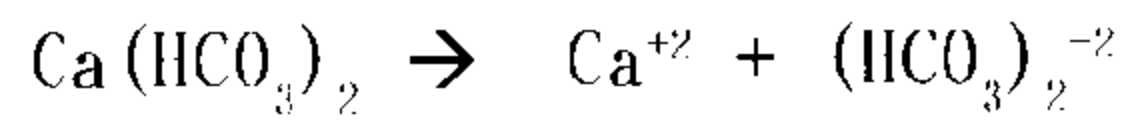




表4 A廠鍋爐流體磁化器效益追蹤評估重點摘要

項目 日期	重點工作項目	評估結果/追蹤情形	備註
八年 十八 年	11月18日 開始接觸此技術		
	11月19日 詳讀流體磁化器相關資料，評估流體磁化器優點	<ul style="list-style-type: none"> ● 可節省用藥費 ● 具有獨特脫垢功能 ● 有助於完全燃燒 ● 延長設備使用壽命 	着手評估可行性
	11月28日 首先選擇 No.1 鍋爐進行安裝測試	打開爐體並拍照取証，同時建立 No.1 鍋爐試驗追蹤報表	No.1 鍋爐停止用藥
	12月1~8日 抽水取樣反覆測試	鍋爐水漸漸變清	
	12月9日 繼續觀察	pH 值基本正常 9.5-10.5，火苗集中，呈現藍焰	
	12月21日 評估 No.2，No.3 鍋爐是否安裝	No.2，No.3 鍋爐決定安裝進行測試，同時建立試驗追蹤報表	No.2，No.3 鍋爐停止用藥
	12月27日 繼續測試觀察	pH 值有所降低 8	
八年 十九 年	1月2日 再次打開爐體檢查	TDS 濃度在 1000 左右	未長新垢
	2月11日 測試 No.2，No.3 鍋爐	pH 值基本達到標準	
	2月14日 總結評估	安裝該設備可省燃油 3%左右	
	3月5日 打開 No.2，No.3 鍋爐人孔檢查結垢狀況	未見新垢形成	No.2，No.3 鍋爐停用軟水，改用自來水
	3月12日 打開 No.1 鍋爐人孔檢查結垢狀況	爐膽上的舊垢有明顯脫落	No.1 鍋爐停用軟水，改用自來水
	3月19日 檢查 3 座鍋爐	一切正常	
	4月2日 No.3 鍋爐年檢，打開人孔查結垢狀況	無新垢形成，但 pH 值較低，一般 pH 值在 8 左右	
	4月25日 抽水取樣反複測試	爐水漸漸變清	
	4月29日 檢查 3 座鍋爐	一切正常	
	5月3日 打開 No.1 鍋爐檢查	鍋爐爐膽未長新垢	
	7月9日 打開 No.1 鍋爐人孔及手孔取樣檢查	無新垢產生，水質正常，並拍照取證	硬垢形成軟泥

註：TDS 為總溶解固體物

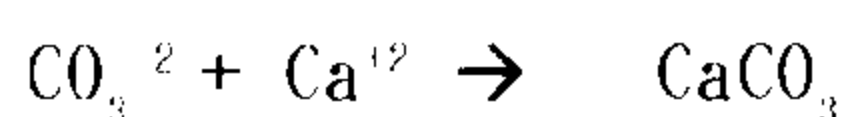


表5 A廠三座鍋爐安裝流體磁化器排氣溫度情形

鍋爐編號	No.1	No.2	No.3
安裝前排氣溫度	250°C	220°C	210°C
安裝後排氣溫度	230°C	210°C	200°C
排氣溫度下降	20°C	10°C	10°C

表6 A廠 88年及89年單位產能耗油量統計表

月份 類別	2月	3月	4月	5月	6月	7月	2~7月間 平均	單位
88年	1.182	1.176	1.033	1.008	0.973	0.935	1.048	公秉/千雙球鞋
89年	1.050	0.949	0.909	0.940	0.970	0.872	0.946	公秉/千雙球鞋
降低量	0.132	0.227	0.124	0.068	0.003	0.081	0.102	公秉/千雙球鞋
降低百分比	11.2	19.3	12.0	6.7	0.3	8.5	9.7	%
備註	1.鍋爐安裝流體磁化器之後，平均每生產 1000 雙球鞋可節省 0.102 公秉之重油量。 2.若以 88 年 1~12 月全年總生產量為計算基本，估算每年可節省重油：0.102 公秉/千雙*4272 千雙/年=436 公秉。							



在水磁化過程中，磁場向水輸送能量，而破壞了氫鍵，根據呂查得里原理可推知，水經磁場後水中結合的氫鍵及水與 CO_3^{-2} 之間的氫鍵遭到破壞，而使 Ca^{+2} 與 CO_3^{-2} 離子間接觸機會增加，硬度鹽類顆粒的穩定性降低，而使結晶中心增加，易成無定形軟泥型態之泥渣，易於排



表7 A廠鍋爐空氣污染物排放減量推估

類別	粒狀物 PM	二氧化硫 SO ₂	三氧化硫 SO ₃	一氧化碳 CO	氮氧化物 NO _x	揮發性有機物	
						非甲烷	甲烷
排放係數 (kg/公秉)	1.25	9.5	0.12	0.6	6.6	0.14	0.057
減量推估 (kg/年)	545	4,142	52	262	2,878	61	25
節省空污費 (元/年)	尚未開徵	50,328		尚未開徵	28,780	尚未開徵	尚未開徵
備註	1、 依據美國環保署 AP-42 空氣污染排放係數 2、 以 A 廠每年減少 436 公秉重油使用量為基準(假設含硫量為 0.5%) 3、 空氣污染防治費係以三級防治區收費費率為計算基準：即 SO _x ：12 元/公斤、 NO _x ：10 元/公斤						

污除去。其重點在於結晶中心的增多，因結晶中心的表面積和熱面積之比值，決定泥渣量和沉積在受熱面上水垢量的比值，如硬度 350~400mg/l 的水，經磁化處理後，可減少沉積物達 92%，因而有防止結垢的作用。

此外，文獻資料亦顯示水分子經磁化後，在某些化學或物理性質也有些改變，例如：水分子氫氧鍵之夾角、水的表面張力、水的電導率、水的溶解度、水中溶氧量、以及水中正負電荷分離與分布情形產生變化，這些科學上可量測的數據，尚有賴專家學者的研究，如能瞭解磁化技術的進一步理論基礎，相信必有助於磁化處理技術應用領域的發展。

燃油減量及排污減廢成效

(一) 評估與測試過程

A 廠在 88 年 11 月 18 日接觸此新技術後，開始評估流體磁化器之可行性，在詳細研讀相關資料後，88 年 11 月 28 日決定先由 No.1 鍋爐進行測試，在其進油管及進水管上各安裝 1 個流體磁化器，其安裝位置如圖 8 及圖 9 所示。並建立流體磁化器追綜評估報表，逐日記錄並觀察其使用情形，以便日後評估能源節約與經濟成本之效益，初步觀察 No.1 鍋爐在停止用藥的情形下，各方面之運轉狀況皆無不良影響，88 年



圖10 鍋爐安裝流體磁化器後鍋垢脫落並不再形成

12月1~8日抽水取樣並反覆測試，鍋爐水有漸漸變清的現象，且鍋爐火焰集中，呈現藍焰，故在88年12月21日於No.2及No.3鍋爐亦加裝流體磁化器，89年2月14日評估結果節省燃油約3%，其安裝後之效益追蹤評估重點摘要，如表4所示。

(二) 能源約節效益

1. 鍋爐排氣溫度下降

在鍋爐加裝流體磁化器初期，即可明顯觀

察到鍋爐排氣溫度有下降10~20°C的情形，鍋爐燃料燃燒之熱量利用率有顯著的提升，而熱量回收之多寡亦可用簡單的公式計算 $Q = MC_p \Delta T$ ，其中Q：回收之熱量；M：鍋爐排氣之質量流率；C_p：鍋爐排氣之平均； ΔT ：鍋爐排氣之溫度差，三座鍋爐在安裝流體磁化器前後之比較如表5所示。

2. 單位產能耗油率降低

又經長時間觀察其運轉情形，並追蹤統計相關測試數據，由表1及表2換算成單位產能耗



圖11 鍋爐安裝流體磁化器後硬垢變成軟泥型態

油率，結果發現工廠單位產能耗油率由每千雙球鞋 1.048 公秉，變為 0.946 公秉，也就是少用 0.102 公秉 / 千雙球鞋，亦即在相同的產量下，成功地減少重油使用量 9.7%。

3. 節省重油使用量與燃料費

A 廠 88 年及 89 年 2~7 月間單位產能耗油率如表 6 所示。若以 88 年度球鞋總生產量 4,272 千雙為基準，推估每年可節省重油使用量 436 公秉，並以中油低硫鍋爐用油價格 8,887 元 / 公秉 (89.9.14 牌價表) 估算，相當於每年節

省燃料費達 387 萬元新台幣。

(三) 排污減廢效益

1. 減少空氣污染物排放量方面

如前所述 A 廠重油使用量每年可節省 436 公秉，因此在減少空氣污染物排放量方面，依據美國環保署 AP-42 (Compilation of Air Pollutant Emission Factors) 之鍋爐空氣污染物排放係數推估：工廠三座鍋爐每年粒狀物 (PM) 減少 545kg；硫氧化物 (SO_x) 減少 4,194kg；



一氧化碳(CO)減少 262kg；氮氧化物(NO_x)減少 2,878kg；揮發性有機物(VOC)減少 86kg，詳如表 7 所示。

2. 減少繳納空氣污染防治費方面

因鍋爐減少硫氧化物(SO_x)及氮氧化物(NO_x)的排放量，相對地可以減少應繳納之空氣污染防治費，若以三級防制區收費費率為計算基準(SO_x：12元/公斤、NO_x：10元/公斤)，SO_x的空氣污染防治費可節省50,328元/年；NO_x可節省28,780元/年，故空氣污染防治費預估可減少繳納79,108元/年，詳如表 7 所示。這對要繳納空氣污染防治費之工廠而言，又可節省一筆可觀的費用。

3. 鍋爐水垢處理成效方面

另外，在鍋爐熱交換器原有結垢之情形亦大為改善，自安裝流體磁化器後，又在鍋爐水停止加化學品的情形下，發現熱交換器原有之鍋垢脫落並未產生新的結垢，如圖 10，而管壁上結垢物已轉變為軟泥且容易清洗，如圖 11，同時鍋爐水排污次數由 5 次/日減少為 1 次/日，因此除了提升熱交換器熱傳效率之外，亦節省許多藥

品費用、維修人力以及寶貴的水資源。

結 語

一般工廠在不明瞭流體磁化器能源節約與排污減廢的工作原理，以及不確定其是否真正有效之前，很難輕易地接受安裝此項設備，尤其是中、大型企業更不敢冒然嘗試，故有必要對此技術進一步研究揭開其學理，以化解欲使用者之疑慮。在核四廠遭遇停建或續建搖擺不定之際，從能源節約的觀點來看，任何一種技術或產品能真正為工廠節省 5% 以上之能源，就有其存在及大力推廣的價值，此鍋爐燃油減量 9.7% 及排污減廢之成功案例，值得國內相關耗能工業之參考與仿效，更期待國內對此技術有興趣者，共同努力從事有關磁化技術理論與實務之研究，探討其廣泛之應用領域，排除功效誇張不實的部分，並創造更多的能源節約及排污減廢成功案例，不論其能源節約百分比為何，只要能達 5% 以上，皆是工廠之福。 ■

參考資料

Compilation of Air Pollutant Emission Factors, AP-42 Fourth Edition September 1985。

Gunnar Nilsson, Department of Geology, Earth Sciences, Göteborg University, S-413 81 Göteborg. Soil Remediation of A Heavy Metal and Creosote Contaminated Site Applied on the Former Wood-Preservation Site at Grimstorp,

South Sweden .
Magnetic Effects of Simulated Brine Properties Pertaining to Magnetic Water Treatment, National Heat Transfer Conference, Minneapolis, MN, July 1991 .
Perry Chemical Engineers Handbook, Sixth Edition, McGraw-Hill International Editions .



中國石油股有限公司燃料油產品品牌價表，89年

9月14日。

台灣面臨的能源問題，油小看大集，<http://www.cpc.com.tw> 網站資訊。

李雲春，有關鍋爐勁磁水處理器之效率評估報告，三豐鞋業有限公司。

牧野伸治理學博士，神奇的 π -WATER，正義出版社，ISBN：957-664-208-6。

磁化科技的原理與應用，瑞典流體磁化器產品型錄、技術密件及書信資料。

磁化科技的原理與應用，丹麥流體磁化器產品型錄、技術密件及書信資料。

磁化科技的原理與應用，美國加拿大流體磁化器產品型錄、技術密件及書信資料。

磁化科技的原理與應用，台灣與中國大陸流體磁化器產品型錄、技術密件及書信資料。

作者簡介：

作者：司洪濤

學歷：國立中山大學環境工程研究所碩士

經歷：財團法人生物技術開發中心生化組助理研究員(78/9~79/3)；中鼎工程公司環工部專案工程師(79/4~81/8)；財團法人中國技術服務社工業污染防治中心專案經理(81/9~89/4)

現職：財團法人台灣產業服務基金會研發專案組專案經理

專長 / 研究領域：環保法規、環境工程、化學工程單元設計、空氣污染防治規劃設計

作者：劉文清

學歷：國立雲林科技大學環境與安全工程研究所碩士

現職：財團法人台灣產業服務基金會研發專案組工程師

專長 / 研究領域：環境工程、污水處理規劃設計、ISO14001 與 OHSAS18001 輔導

責任編輯 / 王心彥